

# شبیه‌سازی تأثیر ریزش باران بر انتشار امواج رادیویی در باندهای Ku و Ka

محمد بهرامی، عباسعلی لطفی نیستانک و بابک میرزاپور

تابع عوامل گوناگونی همچون نرخ بارش، دما، نوع باران، فرکانس و ... می‌باشد [۱].

بر اساس مطالعات صورت‌گرفته اندازه قطرات باران از اندازه‌های بسیار کوچک که در ابرها یافت می‌شود تا اندازه‌های بزرگ که عموماً در مناطق حاره‌ای پیدا می‌شود تغییر می‌نماید. اما شاعع بزرگترین قطرات باران از ۴ میلی‌متر بیشتر نمی‌شود [۲].

بدون شک مدل سازی هر کanal انتقال داده بدون آگاهی کامل به پدیده‌های تأثیرگذار بر رفتار کanal امکان پذیر نمی‌باشد. اما پدیده‌های مؤثر بر یک کanal لینک ماهواره پدیده‌هایی کاملاً تصادفی و دارای رفتار متغیر با زمان هستند که مدل سازی دقیق آنها را پیچیده می‌کند. در نتیجه عموماً مدل‌های ارائه شده در این زمینه بر پایه نتایج آماری داده‌های هواشناسی و نتایج اندازه‌گیری بنا نهاده شده‌اند، که از این نوع مدل‌ها می‌توان به توصیه‌نامه‌های ارائه شده توسط ارگان بین‌المللی مخابرات (ITU) اشاره نمود.

تلاش‌های گسترده‌ای برای اندازه‌گیری پارامترهایی همچون ثابت دی‌الکتریک، شکل ذرات، ترکیبات تشکیل‌دهنده نزولات جوی، سرعت بارش ذرات و سایر پارامترهای مورد نیاز صورت پذیرفته است. در این میان مدل‌های بسیار معروف و کاربردی وجود دارند که در اکثر مطالعات و مقالات علمی مورد استفاده قرار می‌گیرند که در ادامه به اختصار به معرفی مهم‌ترین این مدل‌ها خواهیم پرداخت.

## ۲- مدل سازی قطرات باران

در مورد شکل قطرات باران اندازه‌گیری‌های متعددی صورت پذیرفته است. تصویربرداری از قطرات باران با شاعع‌های مختلف نشان می‌دهد که قطرات باران برای شاعع‌های بالاتر از ۱ میلی‌متر به شکل بیضی‌گون تخت<sup>۱</sup> می‌باشد. اما در عین حال نسبت محوری<sup>۲</sup> برای قطرات با حجم برابر در اندازه‌گیری‌های مختلف متفاوت می‌باشد. به عنوان مثال برای حجم معادل شاعع ۱/۵ میلی‌متر این نسبت از ۰/۷۵ تا ۰/۰۷۵ تغییر می‌کند. بر اساس محاسبات انجام شده برای نسبت محوری، دو رابطه خطی ارائه گشته است که به خطوط A و B معروف هستند [۳] و [۴]

$$\text{axial ratio} = 1 - 0.5D. \quad (1)$$

$$\text{axial ratio} = 1 - \frac{0.205}{0.25} D. \quad (2)$$

که (۱) رابطه A و (۲) رابطه B را نمایش می‌دهد. در روابط بالا D. قطر کره با حجم معادل بر حسب میلی‌متر می‌باشد.

اخیراً طبق اندازه‌گیری‌های صورت‌گرفته رابطه دیگری برای این نسبت ارائه شده است که در این شبیه‌سازی مورد استفاده قرار گرفته است [۴]

1. Oblate Spheroidal

2. Axial Ratio

چکیده: شبیه‌سازی تأثیر باران بر روی انتشار امواج در یک محیط نیازمند دانستن اطلاعات در مورد مشخصاتی همچون ضربی شکست، شکل و اندازه قطرات است. این پارامترها بر اساس اندازه‌گیری بدست می‌آیند، سپس بر این اساس می‌توان پارامترهای پراکنده‌ی ناشی از یک ذره را حساب نمود و در نهایت نتایج را برای مجموعه ذرات تعیین می‌کند. در این مقاله با استفاده از نحوه توزیع قطرات باران و با استفاده از روش ممان پارامترهایی همچون تضییف، تغییر پلاریزاسیون و شبیت فاز محاسبه شده است. نتایج شبیه‌سازی با توصیه‌های ITU در این رابطه مقایسه شده و نشان داده شده که توصیه‌های ITU که حالت عام دارند به طور تقریبی متوسطی از تضییف را ارائه می‌دهند.

**کلید واژه:** انتشار امواج، روش ممان، ریزش باران، پراکنده‌ی امواج.

## ۱- مقدمه

در سال‌های اخیر تقاضا برای ارتباطات ماهواره‌ای رشد روزافزونی داشته است. به همراه این رشد فزاینده این سؤال مطرح شده است که با وجود شرایط موجود چگونه می‌توان به نرخ بیت بالاتر دست یافت. یکی از راه حل‌ها استفاده از فرکانس‌های بالاتر می‌باشد. اما در فرکانس‌های بالاتر از ۵ GHz به خصوص در فرکانس‌های مایکروویو، نزولات جوی و گازهای موجود در جو باعث کاهش کیفیت لینک مخابراتی می‌گردد. این مسئله نیاز به شناسایی و مدل سازی کanal را آشکار می‌نماید. در ابتدای امر، مسئله مهم از دید محققان، تضییف صورت‌گرفته ناشی از برف و باران و گازهای موجود در اتمسفر زمین و رفتار متغیر با زمان لایه‌های اتمسفر بر روی امواج رادیویی بود.

اولین کارها بر روی تضییف باران در دهه ۵۰ میلادی صورت پذیرفت. در ابتدا این محققان به مسئله از دیدگاه کاملاً فیزیکی می‌نگریستند اما با ظهور ماهواره‌ها نیاز عملی به بررسی‌های دقیق‌تر احساس شد. با توجه به این که استفاده از پلاریزاسیون‌های متعدد راهی برای افزایش ظرفیت کanal می‌باشد و از آنجایی که قطرات باران و سایر نزولات جوی دارای شکل کاملاً متقاضی نمی‌باشند، امکان ظهور هم‌شناوی میان این کanal‌ها وجود دارد. بنابراین در بررسی‌های بعدی، مسئله پلاریزاسیون و شکل غیرمتقارن قطرات باران مورد توجه قرار گرفت. این مسئله برای اولین بار در سال ۱۹۷۰ میلادی توسط یک گروه تحقیقاتی در آزمایشگاه‌های بل اندازه‌گیری شد.

مسئله تضییف ناشی از باران در فرکانس‌های مایکروویو، برای چندین دهه موضوع تحقیق و بررسی بوده است. انتشار امواج در یک محیط بارانی بازنگری شد.

این مقاله در تاریخ ۱۶ فروردین ماه ۱۳۸۶ دریافت و در تاریخ ۲۸ مرداد ماه ۱۳۸۶ بازنگری شد.

Abbasali Lطفی نیستانک، محمد بهرامی و بابک میرزاپور، پژوهشکده برق جهاد دانشگاهی، پلاک ۱۸۸، خیابان شهید ملک‌کلو، خیابان شهید حیدرخانی، خیابان فرجام، نارمک، تهران (email: alotf@iust.ac.ir).

$$\text{axial ratio} = \begin{cases} 1 & D_i \leq 0.1 \text{ cm} \\ 1 & 0.1 \text{ cm} \leq D_i \leq 0.9 \text{ cm} \\ \frac{1}{1.048 + 0.057D_i - 2.628D_i^2 + 3.682D_i^3 - 1.677D_i^4} & \text{otherwise} \end{cases} \quad (3)$$

که در روابط فوق داریم  $R = |\vec{R}| = \vec{r}_i - \vec{r}_j$ . وجود ترم  $\vec{E}_i^{\text{self}}$  در (۷) به خاطر وجود تکینی در کرنل انگرال (۴) می‌باشد. در صورتی که داشته باشیم  $\delta_x = \delta_y = \delta_z$  پس از رفع تکینی خواهیم داشت [۷]

$$\vec{E}_i^{\text{self}} = (1 - \epsilon_r(\vec{r}_i)) \frac{\vec{E}_i}{3} \quad (7)$$

سرانجام معادلات خطی به دست آمده را می‌توان به فرم زیر تشکیل داد

$$\begin{bmatrix} A_{xx} & A_{xy} & A_{xz} \\ A_{yx} & A_{yy} & A_{yz} \\ A_{zx} & A_{zy} & A_{zz} \end{bmatrix} \cdot \begin{bmatrix} E_x \\ E_y \\ E_z \end{bmatrix} = - \begin{bmatrix} E_x^{\text{inc}} \\ E_y^{\text{inc}} \\ E_z^{\text{inc}} \end{bmatrix} \quad (8)$$

و پس از محاسبه میدان داخل پراکنده‌گر، می‌توان میدان پراکنده‌شده را محاسبه نمود. همچنین می‌توان توان تلف شده ناشی از بخش موهومنی ثابت دی‌الکتریک را به دست آورد

$$P_a = \int_v \frac{\sigma}{2} |\vec{E}|^2 dv \quad (9)$$

$$P_s = \frac{1}{2} \operatorname{Re} \left[ \int_s (\vec{E}^s(r) \times \vec{H}^s(r)) ds \right] \quad (10)$$

که در آن  $P_a$  توان جذب شده و  $P_s$  توان پراکنده شده توسط قطره باران می‌باشد. برای سطح مقطع جذبی و پراکنده‌گی داریم

$$Q_a = \frac{P_a}{P_i} \quad m^* \quad (11\text{-الف})$$

$$Q_s = \frac{P_s}{P_i} \quad m^* \quad (11\text{-ب})$$

$$Q_t = Q_a + Q_s \quad (11\text{-ج})$$

که در آن  $Q_a$  سطح مقطع جذبی،  $Q_s$  سطح مقطع پراکنده‌گی و  $Q_t$  نشان‌دهنده سطح مقطع کل است. برای محاسبه تضعیف ویژه از رابطه زیر استفاده شده است [۸]

$$A = 4.333 \times 10^{-3} \int Q_t(a) N(a) da \quad (12)$$

برای محاسبه شاخص تغییر پلاریزاسیون  $\text{XPD}$  (XPD) بر اساس میدان‌های داخل پراکنده‌گر می‌توان ثابت انتشار را به دست آورد و سپس بر اساس روابط زیر XPD را محاسبه نمود [۹] که XPD مقدار توان دریافت شده در پلاریزاسیون ناخواسته به سبب غیرکروی بودن قطرات باران نسبت به توان دریافت شده در پلاریزاسیون ارسالی می‌باشد

$$\text{XPD}_{HV} = 2 \cdot \log \left| \frac{(1-g) \tan \theta}{1+g \tan^2 \theta} \right| \quad (13\text{-الف})$$

$$\text{XPD}_{VH} = 2 \cdot \log \left| \frac{(1-g) \tan \theta}{g + \tan^2 \theta} \right| \quad (13\text{-ب})$$

که در (۳)،  $D_i$  قطر کره معادل بر حسب سانتی‌متر می‌باشد. مهم‌ترین پارامتر در محاسبه تضعیف ویژه، سطح مقطع کل قطرات باران می‌باشد. پس از محاسبه سطح مقطع کل ناشی از هر قطره می‌باشد میانگین سطح مقطع کل را محاسبه نمود. پارامتر  $\text{DSD}$ ، تعیین‌کننده تعداد قطرات موجود در یک حجم واحد در یک نخ بارش معین می‌باشد. برای  $\text{DSD}$  روابط نمایی متعددی برای باران‌های مختلف ارائه شده است که در جدول ۱ نشان داده شده است [۵].

### ۳- روش ممان برای تحلیل مسئله

برای محاسبه پراکنده‌گر ناشی از پراکنده‌گرهای دی‌الکتریک، معادله انتگرالی حجمی به دست آمده از هم‌ارزی حجمی را می‌باشد حل نمود. میدان الکتریکی داخل پراکنده‌گر ( $\vec{E}$ ) با گزندگی نسبی ( $\vec{r}$ ) را می‌توان به فرم زیر نمایش داد [۶]

$$\begin{aligned} \vec{E}(\vec{r}) &= \vec{E}^{\text{inc}}(\vec{r}) + \kappa^r \iiint_v d\nu' \vec{G}(\vec{r}, \vec{r}') \cdot (\epsilon_r(\vec{r}') - 1) \vec{E}(\vec{r}') \\ \vec{G}(\vec{r}, \vec{r}') &= (\vec{I} + \frac{\nabla \nabla}{\kappa^r}) g(\vec{r}, \vec{r}') \\ g(\vec{r}, \vec{r}') &= \frac{e^{jk|\vec{r}-\vec{r}'|}}{4\pi |\vec{r}-\vec{r}'|} \end{aligned} \quad (4)$$

برای حل مجموعه معادلات انتگرالی (۴) می‌توان از روش معان استفاده نمود. برای توابع پایه می‌توان ازتابع پله استفاده نمود. برای تابع وزن نیز می‌توان از تابع ضربه استفاده کرد

$$\begin{aligned} f_n(x, y, z) &= (u(x + x_n + \frac{\delta_x}{2}) - u(x - x_n - \frac{\delta_x}{2})) \\ &\quad \times (u(y + y_n + \frac{\delta_y}{2}) - u(y - y_n - \frac{\delta_y}{2})) \\ &\quad \times (u(z + z_n + \frac{\delta_z}{2}) - u(z - z_n - \frac{\delta_z}{2})) \\ w_n &= \delta(x - x_n) \delta(y - y_n) \delta(z - z_n) \end{aligned} \quad (5)$$

با اعمال توابع پایه و وزن و همچنین فرض اینکه  $\delta_x$  و  $\delta_y$  و  $\delta_z$  بهاندازه کافی کوچک باشند می‌توان میدان در هر المان را ثابت فرض کرد و انتگرال حجمی را محاسبه نمود، در نهایت (۴) به یک مجموعه معادلات خطی همزمان تبدیل می‌شود

$$\begin{aligned} \vec{E}_i &= \vec{E}_i^{\text{inc}} + \kappa^r \Delta V \sum_{j=1}^N \vec{A}(\vec{r}_i, \vec{r}_j) \cdot (\epsilon_r(\vec{r}_j) - 1) \vec{E}_j + \vec{E}_i^{\text{self}} \\ \vec{A}(\vec{r}_i, \vec{r}_j) &= \frac{e^{jkR}}{4\pi R^r} [\kappa^r (R^r \vec{I} - \vec{R} \vec{R}) + \frac{1-jKR}{R^r} (\vec{R} \vec{R} - R^r \vec{I})] \end{aligned} \quad (6)$$

3. Absorbtion Cross Section

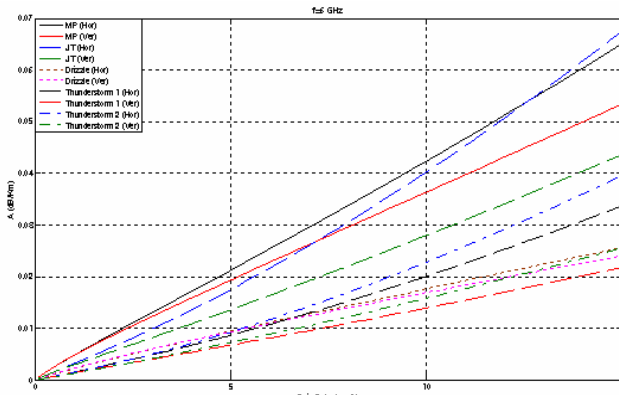
4. Scattering Cross Section

5. Total Cross Section (Extinction Cross Section)

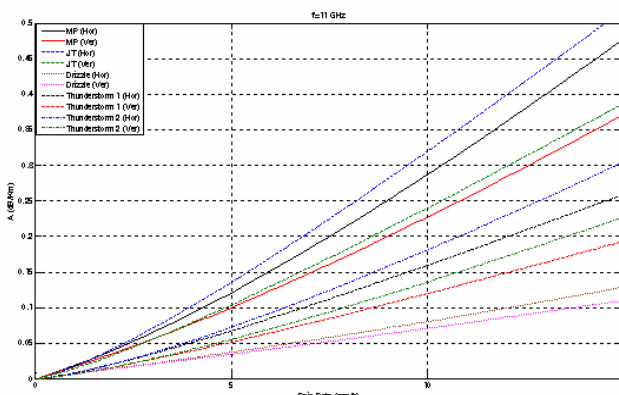
6. Cross Depolarization Discrimination (XPD)

1. Total Cross Section

2. Drop Size Distribution



شکل ۴: تضعیف ویژه برای فرکانس ۶ گیگاهرتز.



شکل ۵: تضعیف ویژه برای فرکانس ۱۱ گیگاهرتز.

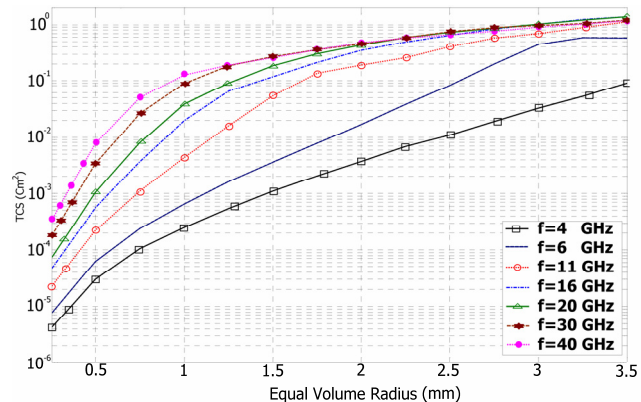
جدول ۱: مدل‌های مختلف موجود برای DSD باران.

MP model
$N(D) = 1.6 \times 10^4 \exp(-4.1 R^{-1.1} D)$
J-T model
$N(D) = 2.8 \times 10^7 \exp(-3.8 R^{-1.1} D)$
Singapore DSD
$N(D) = 6356.64 \exp(-2.77 R^{-1.1} D)$
Drizzle rain
$N(D) = 2 \times 10^7 \exp(-5.7 R^{-1.1} D)$
Thunderstorm ۱
$N(D) = 1.4 \times 10^7 \exp(-3.8 R^{-1.1} D)$
Thunderstorm ۲
$N(D) = 1.31 \times 10^7 R^{1.18} \exp(-3.8 R^{-1.1} D)$

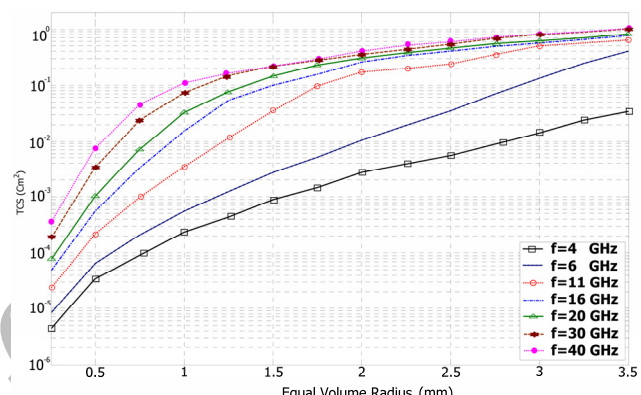
دیالکتریک آب از رابطه دبای<sup>۳</sup> در دمای ۲۰ درجه سانتی‌گراد استفاده شده است که در فرکانس‌های مورد نظر نتایج این رابطه با نتایج اندازه‌گیری به طور کامل مطابقت دارد.

بر اساس نتایج به دست آمده در بالا، تضعیف ویژه برای فرکانس‌های مختلف و برای پلاریزاسیون‌های افقی و عمودی، با لحاظ کردن اثر DSD‌های مختلف مربوط به نرخ بارش کمتر از ۱۵ میلی‌متر بر ساعت به عنوان نمونه به دست آمد که در شکل‌های ۳ تا ۹ نتایج محاسبات برای فرکانس‌های مختلف آورده شده است.

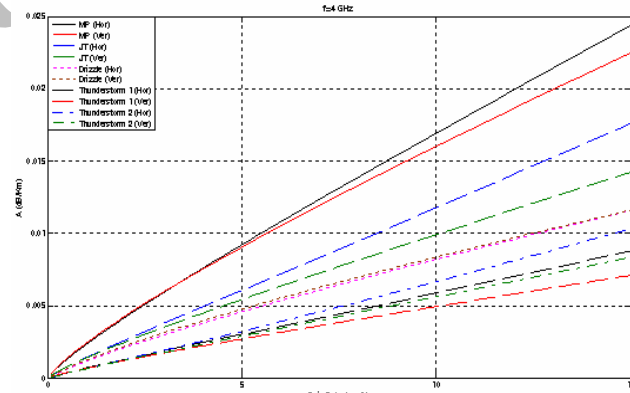
ITU برای محاسبه تضعیف ویژه با استفاده از نتایج به دست آمده از اندازه‌گیری‌های انجام شده توصیه‌نامه ITU-R P.۸۳۸ را ارائه نموده



شکل ۱: سطح مقطع کل برای پلاریزاسیون افقی.



شکل ۲: سطح مقطع کل برای پلاریزاسیون عمودی.



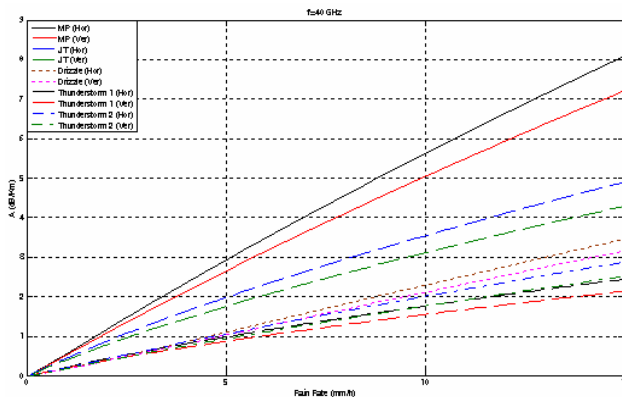
شکل ۳: تضعیف ویژه برای فرکانس ۴ گیگاهرتز.

$$g = \exp(j(k_h - k_v)L) \quad (ج-۱۳)$$

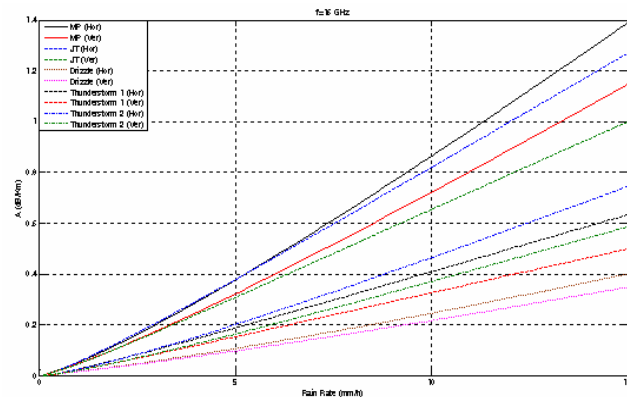
که در آن  $L$  طول مسیر،  $\theta$  زاویه مایل شدگی<sup>۱</sup> باران،  $k_h$  ثابت انتشار موج در پلاریزاسیون افقی و  $k_v$  ثابت انتشار موج در پلاریزاسیون عمودی در محیط بارانی می‌باشد.

#### ۴- نتایج شبیه‌سازی

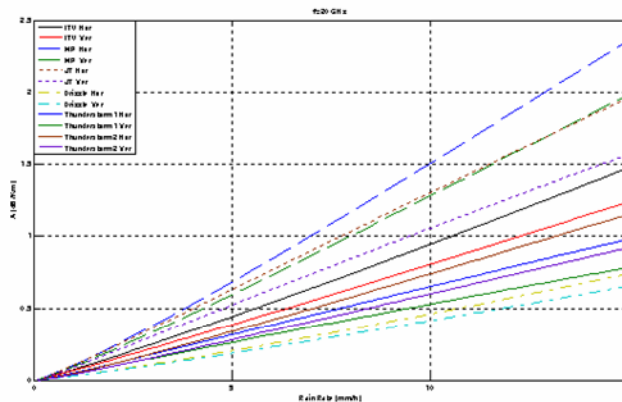
با پیاده‌سازی مجموعه معادلات به دست آمده از (۸) و با کمک (۱۱) برای فرکانس‌های بین ۴ تا ۴۰ گیگاهرتز سطح مقطع کل برای پلاریزاسیون افقی و عمودی موج تابشی به دست آمد که نتایج در شکل ۱ و ۲ رسم شده است. در محاسبه سطح مقطع کل برای ضریب



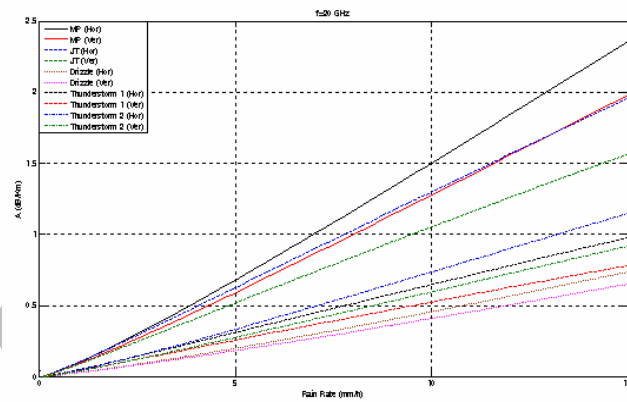
شکل ۹: تضعیف ویژه برای فرکانس ۴۰ گیگاهرتز.



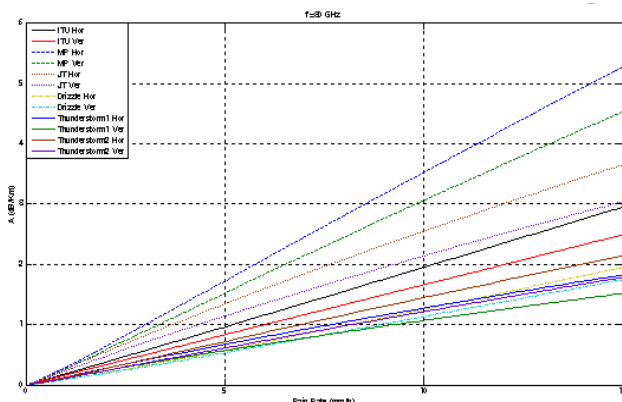
شکل ۱۰: تضعیف ویژه برای فرکانس ۱۶ گیگاهرتز.



شکل ۱۱: تضعیف ویژه محاسبه شده با استفاده از توصیه‌نامه ITU برای فرکانس ۲۰ گیگاهرتز.



شکل ۱۲: تضعیف ویژه برای فرکانس ۳۰ گیگاهرتز.



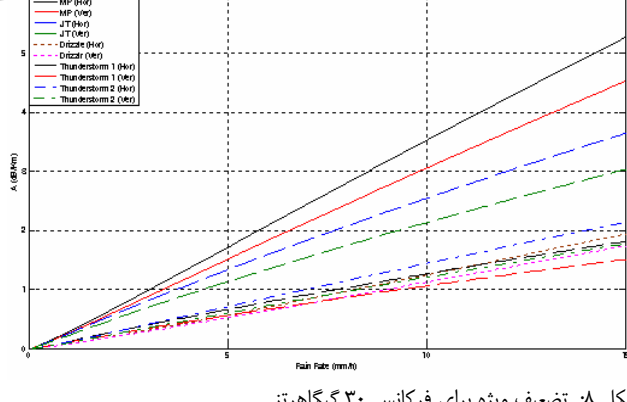
شکل ۱۳: تضعیف ویژه محاسبه شده با استفاده از توصیه‌نامه ITU برای فرکانس ۸ گیگاهرتز.

به طور معمول زاویه مایل‌شدگی باران مقدار ثابتی در نظر گرفته می‌شود [۹]، که در شبیه‌سازی‌ها مقدار آن برابر با ۱۵ درجه فرض شده است. نتایج به دست آمده از مراحل قبل برای فرکانس‌های ۱۱ و ۱۶ و ۲۰ گیگاهرتز محاسبه شده است. برای فرکانس‌های ۱۱ و ۱۶ گیگاهرتز نرخ بارش ۱۰ میلی‌متر بر ساعت در نظر گرفته شده است و برای فرکانس‌های ۲۰ و ۳۰ گیگاهرتز نرخ بارش ۱۵ میلی‌متر بر ساعت در نظر گرفته شده است.

شکل‌های ۱۲ و ۱۳ نشان‌دهنده XPD محاسبه شده برای فرکانس‌های ۱۱ و ۱۶ گیگاهرتز و برای DSD مختلف می‌باشد.

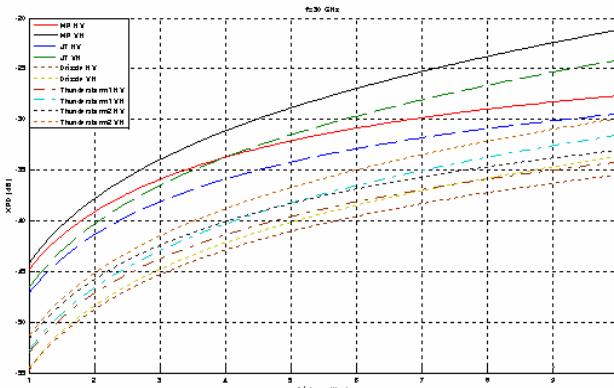
شکل‌های ۱۴ و ۱۵ نشان‌دهنده XPD محاسبه شده برای فرکانس‌های ۲۰ و ۳۰ گیگاهرتز و برای DSD مختلف می‌باشد.

به عنوان مقایسه در شکل ۱۶ میانگینی از نتایج DSD‌های مختلف با

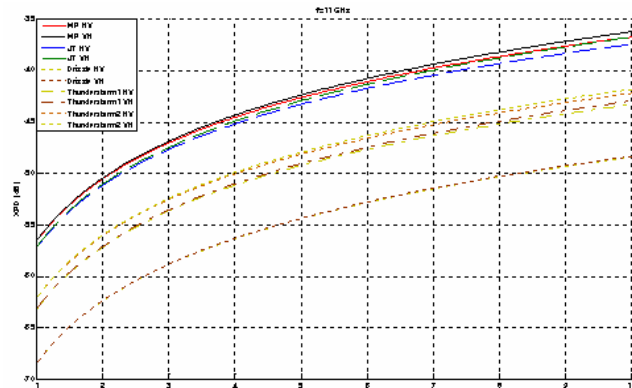


شکل ۱۴: تضعیف ویژه برای فرکانس ۸ گیگاهرتز.

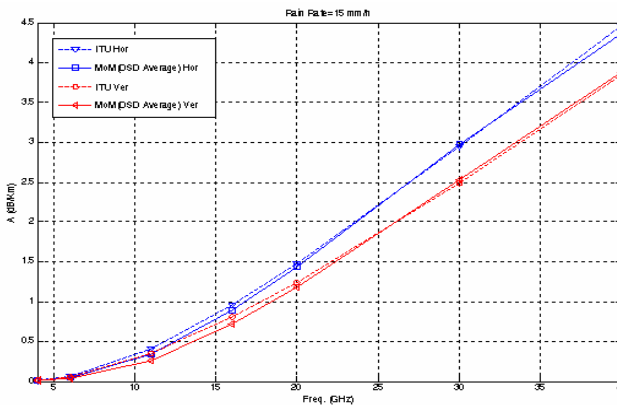
است [۱۰]. از آنجا که این توصیه‌نامه بر اساس اندازه‌گیری‌های متعدد در باران‌های مختلف ارائه شده است، امکان تعیین تأثیر نوع باران و DSD متناظر با آن بر روی تضعیف ویژه وجود ندارد. در شکل ۱۰ و ۱۱ نمودار تضعیف ویژه در دو فرکانس محاسبه شده بر اساس نتایج بالا و نتایج به دست آمده از توصیه‌نامه ITU رسم شده است. همان‌طور که قبلاً اشاره شد در تضعیف ویژه محاسبه شده توسط توصیه ITU امکان تعیین تأثیر DSD وجود ندارد. همان‌طور که از شکل‌های ۱۰ و ۱۱ مشاهده می‌شود تضعیف ویژه محاسبه شده با استفاده از روش ITU برای برخی DSD‌ها کمتر و برای برخی دیگر بیشتر می‌باشد. در واقع از آنچه ای که تضعیف ویژه محاسبه شده از روش ITU بر اساس اندازه‌گیری‌ها می‌باشد بنابراین منطقی است که تضعیف ویژه محاسبه شده ناشی از این روش تقریباً میانگینی از تضعیف ویژه برای باران‌های مختلف باشد، که این امر در شکل‌های ۱۰ و ۱۱ مشاهده می‌شود.



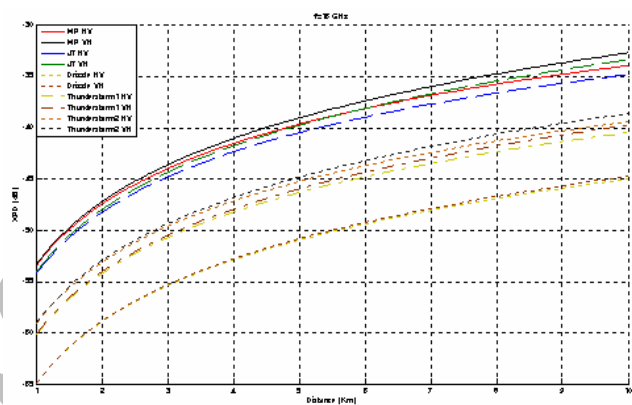
شکل ۱۵: محاسبه شده برای فرکانس ۳۰ گیگاهرتز برای نرخ بارش ۱۵ میلی‌متر بر ساعت.



شکل ۱۲: محاسبه شده برای فرکانس ۱۱ گیگاهرتز برای نرخ بارش ۱۰ میلی‌متر بر ساعت.



شکل ۱۶: مقایسه نتایج DSD‌های مختلف با نتایج ITU در نرخ بارش ۱۵ میلی‌متر بر ساعت.



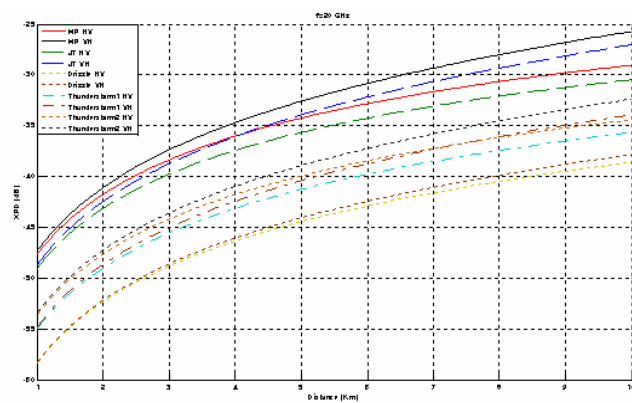
شکل ۱۳: محاسبه شده برای فرکانس ۱۶ گیگاهرتز برای نرخ بارش ۱۰ میلی‌متر بر ساعت.

## ۶- سپاس‌گزاری

مؤلفین این مقاله بر خود لازم می‌دانند از حمایت‌های بی‌دریغ گروه ارتباطات ماهواره‌ای مرکز تحقیقات مخابرات ایران و سازمان فضایی ایران تشکر به عمل آورند.

## مراجع

- [1] L. W. Li, P. S. Kooi, M. S. Leong, T. S. Yeo, and M. Z. Gao, "Microwave attenuation by realistically distorted raindrops: part I-theory," *IEEE Trans. on Antennas and Propagation*, vol. 43, no. 8, pp. 811-822, Aug. 1995.
- [2] T. Oguchi, "Electromagnetic wave propagation and scattering in rain and other hydrometeors," *Proceedings of the IEEE*, vol. 71, no. 9, pp. 1029-1079, Sep. 1983.
- [3] L. D. Emiliani'z, J. Agudelo, E. Gutierrez, J. Restrepo, and C. Fradique-Mendez, "Development of rain-attenuation and rain-rate maps for satellite system design in the Ku and Ka bands in colombia," *IEEE Antennas and Propagation Magazine*, vol. 46, no. 6, pp. 54-68, Dec. 2004.
- [4] L. W. Li, T. S. Yeo, P. S. Kooi, and M. S. Leong, "An efficient calculation approach to evaluation of microwave specific attenuation," *IEEE AP*, vol. 48, no. 8, pp. 1220-1229, Aug. 2000.
- [5] A. Battaglia, F. Prodi, and O. Sturniolo, "Radar and scattering parameters through falling hydrometeors with asymmetric shapes," *Applied Optics*, vol. 40, no. 18, pp. 1026-1031, Jun. 2001.
- [6] I. P. Shkarofsky, "Dependence of rain attenuation and cross-polarization on drop size distribution," *IEEE Trans. on Antennas and Propagation*, vol. 27, no. 4, pp. 538-542, Jul. 1979.
- [7] C. A. Balanis, *Advanced Engineering Electromagnetic*, John Wiley & Sons, Inc. 1989.
- [8] A. D. Yaghjian, "Electric dyadic green's functions in the source region," in *Proc. IEEE*, vol. 68, no. 2, pp. 248-263, Feb. 1980.
- [9] J. Tan and M. Thurai, "Rain-induced cross polarization on line-of-sight systems at 38 GHz," *IEE Proc. Microw. Antennas Propag.*, vol. 144, no. 1, pp. 20-26, Feb. 1997.



شکل ۱۴: محاسبه شده برای فرکانس ۲۰ گیگاهرتز برای نرخ بارش ۱۵ میلی‌متر بر ساعت.

نتایج ITU در نرخ بارش ۱۵ میلی‌متر بر ساعت مقایسه شده که نتایج هم‌خوانی خوبی با هم دارند.

## ۵- نتیجه‌گیری

در این مقاله با استفاده از روش ممان و با در نظر گرفتن توزیع قطرات باران، اثر ریزش باران بر روی انتشار امواج در باندهای فرکانسی Ku و Ka مورد بررسی و شبیه‌سازی قرار گرفت. نتایج شبیه‌سازی برای توزیع‌های مختلف قطرات و پلاریزاسیون افقی و عمودی ارائه شد. همچنین نتایج با توصیه‌های ITU نیز مقایسه شدند.

دانشگاه‌های آزاد اسلامی، علم و صنعت ایران، شاهد و پژوهشکده برق جهاد دانشگاهی به تدریس و تحقیق اشتغال داشته است. زمینه‌های تحقیقاتی مورد علاقه ایشان عبارتند از: مدارهای فعال و غیر فعال مایکروویو، آتن‌های مایکرواستریپ، الگوریتم‌های بهینه‌سازی، طراحی شبکه‌های رادیویی، طراحی مدارهای الکترونیکی، سازگاری الکترومغناطیسی، اندازه‌گیری مایکروویو و انتشار امواج. دکتر لطفی نیستانک تاکنون بیش از ۶۵ مقاله در مجلات و همایش‌های متعدد داخلی و خارجی منتشر کرده است.

بابک میرزاپور بین کلایه متولد ۱۳۵۹ در تبریز بوده و تحصیلات خود را در مقاطع کارشناسی و کارشناسی ارشد مخابرات بهترتب در سال‌های ۱۳۸۳ و ۱۳۸۶ در دانشگاه شاهد بهپایان رسانده است. ایشان هم‌اکنون به عنوان دانشجوی دکتری مهندسی برق مخابرات در دانشگاه تهران مشغول به تحصیل می‌باشد. زمینه‌های تحقیقاتی مورد علاقه ایشان عبارتند از: آتن‌های مایکرواستریپ، انتشار و پراکندگی امواج و پردازش سیگنال. مهندس میرزاپور تاکنون چندین مقاله در مجلات و همایش‌های متعدد داخلی و خارجی منتشر کرده است.

- [10] ITU-R P.838-2, *Specific Attenuation Model for Rain for Use in Prediction Methods*, 2003.  
<http://www.itu.int/md/R03-SG03-C-0032/en>

محمد بهرامی تحصیلات خود را در مقاطع کارشناسی مخابرات با کسب رتبه اول در دانشگاه شاهد و کارشناسی ارشد مخابرات میدان در دانشگاه تهران بهپایان رسانده است. زمینه‌های تحقیقاتی مورد علاقه ایشان عبارتند از: روش‌های عددی در تحلیل مسایل الکترومغناطیسی، انتشار و پراکندگی امواج، روش‌های جهت‌یابی سیگنال دریافتی و پردازش سیگنال. مهندس بهرامی تاکنون چندین مقاله در مجلات و همایش‌های متعدد داخلی و خارجی منتشر کرده است.

عباسعلی لطفی نیستانک متولد ۱۳۵۰ در تهران بوده و تحصیلات خود را در مقاطع کارشناسی مخابرات و کارشناسی ارشد الکترونیک بهترتب در سال‌های ۱۳۷۲ و ۱۳۷۶ و دکتری مخابرات را در سال ۱۳۸۳ از دانشگاه علم و صنعت ایران بهپایان رسانده است. نامبرده در سال‌های ۱۳۷۷ الی ۱۳۷۴ به عنوان مهندس فنی در طراحی شبکه در صدا و سیمای جمهوری اسلامی ایران مشغول به کار بوده است. ایشان در چند سال اخیر در